

# بررسی خواص مکانیکی و عمر خستگی ورق‌های آلمینیوم ۵۰۸۳ حاصل از فرایند نورد در کanal‌های همسان زاویه‌دار (ECAR)

محمد صدیقی \* (استاد)

پیمان منشی (دانشجوی کارشناسی ارشد)

جلال جودکی (دانشجوی دکتری)

دانشکده‌ی مهندسی مکانیک، دانشگاه علم و صنعت ایران

در این نوشتار اثرات فرایند نورد در کanal‌های همسان زاویه‌دار (ECAR) بر خواص مکانیکی و عمر خستگی ورق‌های حاصل از این فرایند بررسی شده است. بدین منظور ابتدا ورق‌های آلمینیومی Al-5۰۸۳ تولید شده طی این فرایند تحت آزمون‌های مکانیکی مختلف – نظریکشش، سختی و خستگی کششی – قرار گرفته‌اند. بررسی‌های خستگی براساس روش کرنش‌بایه با دامنه‌ی کرنش ثابت، فرکانس ۵/۰ هرتز و نسبت کرنش ۷۵/۰ انجام شده است. تمامی آزمون‌ها در محیط استاندارد آزمایشگاهی انجام شده، و نتایج حاصله حاکمی از افزایش استحکام کششی نمونه با سه بار عبور از قالب تا حدود ۲ بار نمونه‌ی آتیل شده اولیه است؛ این افزایش استحکام کششی با کاهش ازدیاد طول نمونه همراه بوده است. سختی ورق‌ها نیز به طور پوسته با افزایش تعداد عبورها بیشتر می‌شود. نتایج آزمون خستگی نشان می‌دهد که عمر خستگی در محدوده‌ی زیر ۱۰<sup>۵</sup> چرخه با افزایش تعداد عبورها مرتب‌آ کاهش می‌یابد.

sedighi@iust.ac.ir  
 p\_monshi@mecheng.iust.ac.ir  
 joudaki@iust.ac.ir

واژگان کلیدی: نورد در کanal‌های همسان زاویه‌دار، استحکام کششی، عمر خستگی، خواص مکانیکی.

## ۱. مقدمه

می‌توان نتیجه گرفت که مواد دانه‌ریز در مقایسه با مواد دانه‌درشت، استحکام بیشتری دارند.

۲. این مواد به علت لغزش مرzedane‌یی یا چرخش در دانه‌ها خواص سوپرپلاستیسیته‌ی منحصر به فردی از خود نشان می‌دهند.<sup>[۱]</sup> به علت افزایش طول مرzedane‌ها در مواد نانوکریستالی ساختار مرzedane در این نوع مواد بسیار مهم است. تغییر شکل شدید باعث افزایش چگالی نابه‌جایی‌ها می‌شود، و حضور برخی از نابه‌جایی‌ها مانع حرکت سایر نابه‌جایی‌ها خواهد شد. در همین زمان، مرzedane‌ها از سازوکارهایی در تغییر شکل پیروی می‌کنند که معمولاً در ساختارهای دانه‌درشت وجود ندارد. این سازوکارها عبارت‌اند از: لغزش مرzedane، چرخش دانه و خوش نفوذی در مرzedane‌ها.<sup>[۲]</sup>

برخی دیگر از خواص این مواد عبارت‌اند از: استحکام تسلیم و استحکام نهایی بسیار بالا، چقمرگی و درصد ازدیاد طول کاهش‌یافته، سختی بالا افزایش مقاومت نسبت به آسیب، قابلیت شکل‌بندیری سوپرپلاستیک بهبودیافته در دماهای پایین، نرخ کرنش‌های سریع‌تر و مقاومت به سایش بسیار عالی.<sup>[۳]</sup> انتظار می‌رود که سختی بالاتر در مواد نانوکریستالی موجب افزایش مقاومت به سایش در آن‌ها شود.

معمولًا موادی با اندازه دانه‌ی ۱ میکرومتر یا زیر ۱ میکرومتر را با دانه‌های فوق ریز (UFG)، و موادی با اندازه دانه‌ی ۱۰ تا ۱۰۰ نانومتر را مواد نانوکریستالی می‌نامند. در سال‌های اخیر محققین توجه زیادی به مواد با دانه‌های فوق ریز داشته‌اند و مطالعات فراوانی برای بررسی خواص این مواد انجام شده است.<sup>[۴]</sup>

از مهم‌ترین دلایل افزایش روزافزون تحقیقات درباره‌ی مواد با دانه‌های فوق ریز می‌توان به دو مورد اشاره کرد:

۱. استحکام بخشی مرzedane‌یی (رابطه‌ی هال - پچ) در تمام آلیاژها منجر به استحکام بخشی در دمای اتاق می‌شود:

$$\sigma_y = \sigma_+ + k d^{-m} \quad (1)$$

در این رابطه،  $\sigma$  تنش تسلیم،  $\sigma_+$  تنش مشخصه‌ی مقاومت به حرکت نابه‌جایی‌ها در دانه‌ها،  $k$ : ثابت وابسته به سازوکار انتقالی لغزش در مرzedane،  $d$ : اندازه دانه و  $m$ : ثابت ماده است که تقریباً برابر با ۵/۵ و وابسته به نوع آلیاژ است. از این رابطه

\* نویسنده مسئول  
 تاریخ: دریافت ۱۹/۱/۱۳۹۴، اصلاحیه ۳/۳۱، پذیرش ۳/۶/۱۳۹۴.

پایین تر هستند، به طوری که تنش تسلیم از حدود  $120^{\circ}$  مگاپاسکال تا حدود  $270^{\circ}$  مگاپاسکال افزایش می‌یابد. در عبورهای بالاتر ECAR استحکام‌های کششی و تسلیم در نمونه انگشتی کاهش می‌یابد. در فرایند ECAR، درصد افزایش طول کاهش قابل ملاحظه‌ی (حدود  $67\%$  تا سه عبور) دارد. سپس این روند تند به کاهش ناچیز درصد افزایش طول تا  $10^{\circ}$  عبور تغییر می‌کند. مطالعات بعدی<sup>[5]</sup> نشان داد که

میزان افزایش طول به طور پیوسته با افزایش تعداد عبورها کاهش می‌یابد. در ارزیابی و بهینه‌سازی رفتار خستگی مواد ریزساختار مختلف حاصل از فرایند پرس در کانال‌های همسان زاویه‌دار<sup>[6]</sup> آزمون‌های خستگی براساس روش کرنش - کنترل و روی آلیاژهای Cu, Al, Al<sub>6</sub>Fe و brass -  $\alpha$  انجام شد. به طور عام، مواد ریزساختار بررسی شده در خستگی کم چرخه نسبت به مواد با اندازه‌دانه‌های معمولی عمر کمتری دارند. نتایج حاصل از بررسی رفتار چرخه‌ی تیتانیوم خالص تجاری ریزدانه که طی فرایند ECAP به دست آمده<sup>[11]</sup> نشان می‌دهد که برخلاف آلیاژهای مس و الومینیوم ECAP که در خواص خستگی کم چرخه افت دارند، تیتانیوم افت محسوسی از خود نشان نمی‌دهد و رفتار ریزدانه و درشت‌دانه‌ی آن در نمودار کافین - مانسون تقریباً یکسان است.

هدف اصلی مطالعه‌ی حاضر، بررسی اثرات فرایند نورد در کانال‌های همسان زاویه‌دار (ECAR) بر خواص مکانیکی و عمر خستگی ورق‌های الومینیومی حاصل از این فرایند است. در ابتدا: نحوه تولید ورق‌های ECAR توضیح داده می‌شود و سپس نحوه آماده‌سازی و انجام آزمون‌های کشش یکنواخت، آزمون سختی سنجی و آزمون‌های چرخه‌ی (خستگی) با روش کرنش - کنترل روی آلیاژ الومینیوم Al<sub>5</sub><sup>0</sup> ۸۳ تشریح می‌شود و در پایان ضمن ارائه نتایج به دست آمده، به بحث و بررسی درباره آن خواهیم پرداخت.

## ۲. مواد و روش آزمایش

مواد مورد استفاده در این مطالعه عبارت است از ورق  $2\text{ mm}$  میلی‌متری آلیاژ الومینیوم  $5083^{\circ}$  که ترکیب شیمیایی آن در جدول ۱ نشان داده است. ورق‌ها ابتدا برای انجام فرایند نورد در کانال‌های همسان زاویه‌دار در ابعاد  $2 \times 50 \times 50\text{ mm}^3$  (عرض  $\times$  ارتفاع  $\times$  طول) بریده شد و سپس برای حذف اثرات کارسختی قبلی و تأثیرات ناشتاخته و همچنین کمیته‌سازی تنش‌های پسماند، پیش از انجام فرایند به مدت یک ساعت در دمای  $45^{\circ}\text{C}$  درجه سانتی‌گراد تحت عملیات حرارتی بازیخت (آنلینگ) قرار گرفتند.<sup>[12]</sup>

پارامترهای فرایند نورد در کانال‌های همسان زاویه‌دار که در شکل ۱ نشان داده شده عبارت است از: ضخامت کانال ورودی و خروجی برای  $2\text{ mm}$  میلی‌متری  $\phi$  زاویه‌ی کانال قالب برای  $120^{\circ}$  درجه، و  $\phi$  زاویه‌ی گوشی خروج از قالب برای صفر است. ضخامت ورق‌های  $2\text{ mm}$  این از عبور از منطقه‌ی تغییر شکل دوریار به ضخامت اویله برمی‌گردد. می‌یابد، اما پس از عبور از منطقه‌ی تغییر شکل باره به ضخامت اویله برمی‌گردد. در این مطالعه سرعت تغذیه برای  $3\text{ m/min}$  بوده و ورق‌های الومینیومی تا  $3$  بار عبور نورد شده است. همچنین مسیر  $\sigma$  برای انجام این فرایند انتخاب شد که در آن، ورق‌ها پس از هر بار عبور به میزان  $18^{\circ}$  درجه نسبت به محور  $x$  (راستای نورد)

جدول ۱. ترکیب شیمیایی آلیاژ الومینیوم  $5083^{\circ}$  (درصد وزنی).

عنصر	Si	Fe	Cr	Mn	Mg	Al
درصد وزنی	Base	۴,۵	۰,۷۵	۰,۱۵	۰,۰۷۵	۰,۰۱

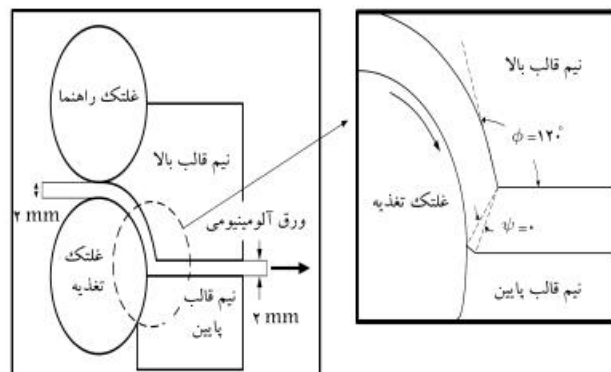
یکی از موفق‌ترین روش‌ها در تولید مواد نانوکریستالی، روش تغییر شکل پلاستیک شدید<sup>[7]</sup> است که در آن، ماده تحت کرنش‌های بسیار زیاد قرار می‌گیرد، بدون این که تغییر چندانی در ابعاد عرضی اتفاق بیفتد. معمولاً اندازه دانه‌ی موادی که تحت فرایندهای تغییر شکل پلاستیک شدید قرار می‌گیرند در محدوده‌ی  $100\text{ }\mu\text{m}$  تا  $1000\text{ }\mu\text{m}$  ناگفته است.<sup>[2]</sup>

فرایند نورد در کانال‌های همسان زاویه‌دار (ECAR)<sup>[3]</sup> برای اعمال کرنش‌های زیاد به منظور ایجاد تغییر شکل پلاستیک شدید در ورق‌های فلزی به کار گرفته می‌شود. اساس این سازوکار بر اعمال تغییر شکل برشی در ماده است، به گونه‌یی که هیچ تغییری در سطح مقطع عرضی نمونه‌ها ایجاد نشود.<sup>[4]</sup> تصویر شماتیکی از فرایند ECAR در شکل ۱ نشان داده شده است که در آن  $\phi$  زاویه‌ی کانال قالب و  $\phi$  زاویه‌ی گوشش خارجی قالب است.<sup>[5]</sup> در این فرایند اصطکاک میان ورق و غلتک‌های نورد باعث حرکت ورق به درون کانال می‌شود. دو کانال با سطح مقطع‌های برابر به عنوان کانال‌های ورودی و خروجی محسوب می‌شوند که با یکدیگر به اندازه‌ی  $\phi$  (معمولًاً  $90^{\circ}$  درجه تا  $150^{\circ}$  درجه) زاویه می‌سازند. زاویه‌ی دیگر ( $\psi$ )، که مشخص کننده‌ی انحنای گوششی زاویه‌دار خارجی قالب است نیز معمولاً بین  $18^{\circ}$  درجه تغییر می‌کند. تغذیه‌ی ورق با استفاده از غلتک‌های نورد علاوه بر پیوستگی فرایند، تبدیل انواع مختلف ورق را به ابعاد نهایی مورد نیاز ممکن می‌سازد.

برای پیش‌بینی کرنش برشی ایجادشده برای فرایند پرس در کانال‌های همسان زاویه‌دار (ECAP)<sup>[6]</sup> معادله‌یی پیشنهاد شده است (معادله‌ی سیگال)،<sup>[7]</sup> اما وقتی مقاطع کانال‌های ورودی و خروجی دقیقاً مشابه نباشد این معادله نمی‌تواند به طور دقیق کرنش برشی ناشی از ECAR را پیش‌بینی کند. بنابراین با تصحیح معادله از طریق ایجاد پارامتر  $k$ ، نسبت ضخامت کانال داخلی به ضخامت کانال خارجی، می‌توان این معادله را برای فرایند ECAR نیز به کار برد. طبق مدل تصحیح شده‌ی سیگال برای فرایند ECAR، کرنش مؤثر ( $\varepsilon_{eff}$ ) مطابق رابطه‌ی ساده‌ی ۲ تعريف می‌شود.<sup>[13]</sup>

$$\varepsilon_{eff} = \frac{2N}{\sqrt{3}} k^7 \cot\left(\frac{\phi}{2}\right) \quad (2)$$

عوامل مختلفی - نظری ضربی اصطکاک میان سطوح تماس، سرعت و مسیر انجام فرایند و لقی کانال‌ها - بر خواص ورق‌های ECAR مؤثر است. در این خصوص و نیز در مردم تأثیر فرایند ECAR بر خواص مواد مطالعاتی صورت گرفته است. در بررسی تأثیر فرایند ECAR بر خواص مکانیکی و قابلیت رسانایی مس خالص،<sup>[8]</sup> منحنی‌های نشش - کرنش نشان‌گر استحکام بالاتر و درصد افزایش طول



شکل ۱. نمای شماتیک فرایند ECAR:  $\phi$  زاویه‌ی کانال قالب و  $\phi$  زاویه‌ی گوشش خارجی قالب است.

تغییرات کرنش اعمالی نسبت به زمان در طول آزمون، یکسان و به صورت موج مثابی در نظر گرفته شد. ده آزمون خستگی با نسبت کرنش (نسبت حداقل کرنش به حداقل کرنش) ثابت برابر  $7/25$ ° و با دامنه های کرنش مختلف انجام پذیرفته است. تمامی نمونه ها پیش از انجام آزمون، به منظور رفع عیوب سطحی، پرداخت دستی شده اند. برای این کار به ترتیب از ورق های سپاهده  $1200$  و  $2000$  استفاده شد. به عملت پراکنده داده ها در آزمون خستگی، در هر سطح کرنش دو نمونه مورد آزمون قرار گرفت. تمامی آزمون های کششی و خستگی در دما و شرایط محیط آزمایشگاهی انجام شده است و فرکانس بارگذاری برابر  $1/5$  هرتز بوده است.

#### ۴. نتایج و بحث

در شکل ۴ تغییرات استحکام تسلیم، استحکام کششی نهایی و درصد ازدیاد طول بر حسب تعداد عبورهای مختلف فرایند نورد در کانال های همسان زاویه دار نشان داده شده است. چنان که مشاهده می شود، پس از انجام فرایند نورد در کانال های همسان زاویه دار، استحکام کششی نهایی افزایش و درصد ازدیاد طول کاهش یافته است. پس از عبور اول، استحکام تسلیم افزایش قابل توجهی (حدود  $5/4$ %) نشان می دهد، در حالی که استحکام کششی نهایی تغییرات چندانی نمی کند و فقط کمتر از  $1$  درصد افزایش می یابد. پس از عبور اول نیز استحکام تسلیم افزایش می یابد اما با ترخی کمتر از عبور اول. استحکام تسلیم پس از سه عبور نسبت به نمونه باز پخته (آنل شده) حدود  $9/7$ % افزایش می یابد اما استحکام کششی نهایی فقط نشانگر  $15\%$  افزایش نسبت به نمونه باز پخته است. فرایند نورد در کانال های همسان زاویه دار سبب افت محسوس ازدیاد طول نمونه ( $4/1$ %) کاهش پس از سه عبور می شود. طبق رابطه  $1$ ، با تغییر اندازه دانه ها استحکام تسلیم نیز تغییر می کند و با ریزش دانه ها استحکام تسلیم افزایش می یابد. افزایش استحکام تسلیم و استحکام کششی نهایی در عبور اول هم ناشی از فرایند کرنش سختی و تجمع نابه جایی ها و هم ناشی از ریزدانه شدن است. با انجام فرایند نورد در کانال های همسان زاویه دار تا سه عبور، کرنش پلاستیک بالایی به ماده اعمال می شود که سبب کاهش اندازه دانه ها و افزایش تعداد دانه ها با زاویه بالا می شود.<sup>[15]</sup> افزایش چگالی نابه جایی ها، کاهش اندازه دانه ها و سخت شوندگی کرنشی نقش اصلی را در افزایش استحکام ماده در عبورهای بعدی ایفا می کند.<sup>[8]</sup>

فرایند نورد در کانال های همسان زاویه دار باعث القای توزیع تنش برší بسیار پیچیده و شدید در نمونه می شود، به طوری که کرنش معادل فرایند عدد قابل توجهی

می چرخدند. در شکل ۲ ورق آلومینیومی باز پخته (آنل شده) و ورق های تحت فرایند در عبورهای  $1$ ،  $2$  و  $3$  نشان داده شده است. چنان که مشاهده می شود به علت کرنش پلاستیک اعمالی، ورق ها پس از خروج از قالب مقدار کمی انتباخته دارند. براساس رابطه  $2$  و مشخصات گفته شده برای فرایند نورد، در هر عبور کرنشی معادل  $5/8$ ° به ماده اعمال می شود. پس از هر عبور این کرنش ها انتباخته می شود و در پایان عبور سوم به مقدار  $1/78$  می رسند.

#### ۳. آزمون های مکانیکی

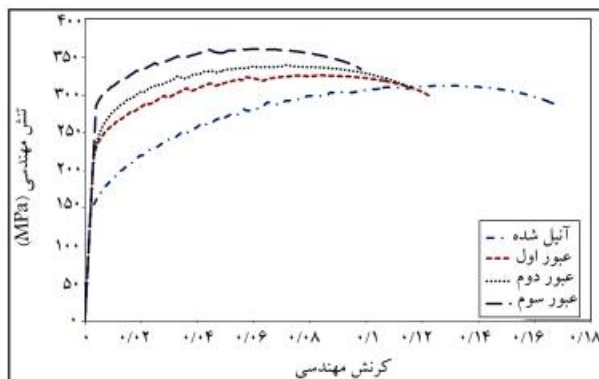
برای بررسی خواص ورق های تولید شده با فرایند نورد در کانال های همسان زاویه دار، سه آزمون کشش استاندارد، آزمون خستگی و آزمون ریز سختی ویکرز انتخاب شده است. نمونه ها را به منظور آزمون کشش توسط دستگاه سیم برش<sup>۵</sup> در راستای نورد پوش دادیم، خواص کششی ورق ها مطابق استاندارد ASTM EA-12 است و روش آزمون استاندارد برای تعیین خواص کششی مواد فلزی<sup>[16]</sup> تعیین شده است. ابعاد نمونه کشش مطابق این استاندارد انتخاب شده است (شکل ۳). طول دهانه<sup>۶</sup> می نونه برابر  $6$  میلی متر است. آزمون ها با نزد کرنش  $10^{-2} \times 5$  انجام و برای حصول اطمینان از دقت نتایج، هر آزمون  $3$  بار تکرار شده است.

آزمون سختی، براساس آزمون میکروسختی ویکرز با نیروی معادل  $20\text{ }\mu\text{m}$ ، بر سطح ورق ها انجام شد. برای هر نمونه سه بار تکرار صورت پذیرفته و میانگین داده ها گزارش شد.

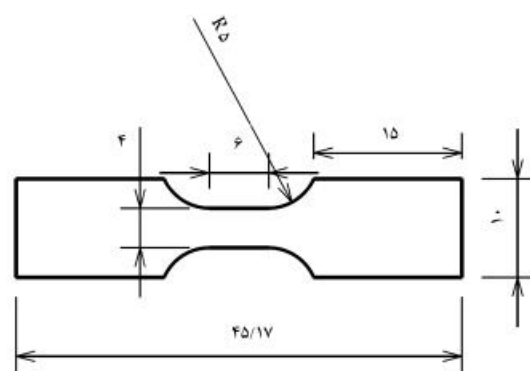
برای آزمون خستگی نمونه هایی با همان مشخصات آزمون کشش (همان ابعاد و راستا که در جهت نورد ورق ها بود) تعیین شده است. براساس استاندارد  $12 - 12\text{ M}\text{ASTM E66M}$ ، روش استاندارد برای آزمون خستگی کرنش - کترل<sup>[16]</sup>



شکل ۲. ورق آلومینیومی پیش از ECAR و پس از عبورهای اول، دوم و سوم.



شکل ۴. تغییرات استحکام تسلیم، استحکام کششی نهایی، و درصد ازدیاد طول بر حسب تعداد عبور از کانال.



شکل ۳. ابعاد نمونه های آزمون کشش و خستگی (ابعاد بر حسب میلی متر).

خستگی — شامل دامنه‌ی کرنش، کرنش میانگین و عمر خستگی — در جدول ۲ گزارش شده است.

با توجه به نتایج بیان شده در جدول ۲ با کاهش دامنه‌ی کرنش اعمالی، عمر خستگی به طور پیوسته افزایش می‌یابد، اما از طرفی مشاهده می‌شود که با افزایش تعداد عبورهای ورق از قالب‌های ECAR عمر خستگی کاهش می‌یابد. عمر ورق‌های بازیخته نسبت به ورق‌های با ۲ بار عبور بیشتر است و ورق‌های با ۲ بار عبور نیز در مقایسه با ورق‌های با ۳ بار عبور تعداد چرخه‌های بیشتری را تا شکست کامل نموده طی می‌کنند. به عنوان مثال در دامنه‌ی کرنش کلی  $4^{\circ}$  نمونه‌ی که در ۳

عبور تحت فرایند ECAR قرار گرفته، تنها حدود  $6500$  چرخه را تا شکست طی می‌کند، نمونه‌ی که تحت ۲ بار عبور فرایند ECAR تولید شده، پس از تحمیل حدود

$12500$  چرخه دچار شکست می‌شود. در حالی که نمونه‌ی بازیخته که تحت فرایند

ECAR قرار نگرفته، پس از طی تقریباً  $80000$  چرخه دچار واماندگی می‌شود که در مقایسه با عمر نمونه‌های ECAR مقدار بسیار بزرگی است.

ساختار مواد پس از فرایندهای تغییر شکل پلاستیک شدید بیوید می‌یابد و دانه‌بندی ریزتر می‌شود. دانه‌بندی‌های کوچک تمایل دارند که در برابر جوانه زنی و رشد ریزترک‌ها از خود مقاومت نشان دهند. مرزدانه‌ها در نقش منحرف‌کننده یا متوقف‌کننده ترک عمل می‌کنند، بنابراین نزخ رشد ترک خستگی کاهش می‌یابد. با این وجود همچنان که ترک در این مواد رشد می‌کند و رشد ترک‌های بزرگ‌تر اتفاق می‌افتد، دانه‌بندی ریز باعث هموارتر شدن سییر ترک، و افزایش نزخ رشد ترک می‌شود. در ادبیات موضوع سازوکارهایی برای توجیه کاهش عمر خستگی پس از فرایند ECAR ذکر شد. مهم‌ترین دلیل تأثیرگذاری ساختار و بزرگ شدن دانه‌ها در طول آزمون خستگی است. دیگر موارد تأثیرگذار تشکیل ریزباندهای برشی متشکل از نابه‌جایی‌های درهم‌تنیده و تشکیل باندهای برشی بزرگتر، و نیز تجمع موضعی کرنش بوده است. علاوه بر این، افزایش نزخ رشد ترک خستگی گزارش شده عمده‌تا به دلیل پیچ خوردنگی کمتر سییر ترک بوده است.<sup>[15]</sup> در روش آزمون کرشن - کنترل عمر مواد وابسته به کرنش شکست و بیشترین ازدیاد طول مواد است، و چون مطابق نتایج بخش قبل، نرمی ماده پس از انجام فرایند ECAR کاهش یافته، عمر مواد نیز کاهش می‌یابد.

جدول ۲. نتایج آزمون خستگی.

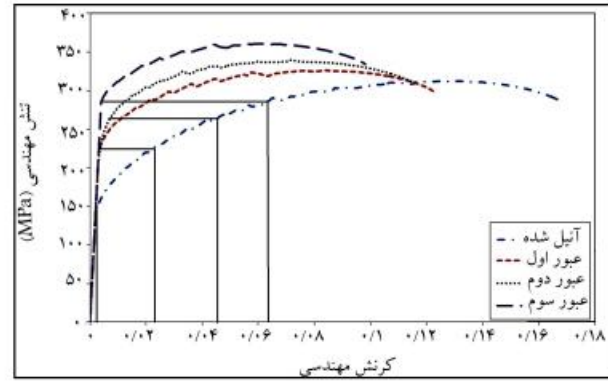
نمونه	کرنش میانگین (%)	نسبت کرنش (%)	دامنه‌ی کرنش (۲N <sub>f</sub> )	عمر خستگی (۲N <sub>f</sub> )
آنل شده	۰,۵۳	۳,۷۷	۰,۷۵	۴۰۹۸
عبور دوم	۰,۴۴	۳,۱۷۶	۰,۷۵	۱۵۹۲۰
عبور سوم	۰,۳۹	۲,۷۹۷	۰,۷۵	۷۹۹۹۴۵
	۰,۵۹	۴,۳۰	۰,۷۵	۲۵۸۲
	۰,۴	۳,۴۶۷	۰,۷۵	۶۰۸۹
	۰,۳۸	۳,۰۴۷	۰,۷۵	۱۲۴۹۵
	۰,۳۲	۲,۹۸	۰,۷۵	۴۲۳۳۶
	۰,۵۶	۲,۳۳۸	۰,۷۵	۹۰۱
	۰,۴۸	۲,۰۰۴	۰,۷۵	۲۳۴۱
	۰,۴۱	۱,۲۳۴	۰,۷۵	۱۲۰۴۰

است. همچنین ذات فرایند به‌گونه‌یی است که علاوه بر تنش برشی، میزان قابل توجهی نیز تنش فشاری به ماده وارد می‌شود که باعث پیچیده شدن وضعیت تنش در نمونه می‌شود، به‌طوری که ماده تحت تنش ایزوتاتیک قرار می‌گیرد؛ تخمین این فشار تنها با داشتن رفتار ماده در آزمون فشار امکان‌پذیر است. این موضوع همراه با وجود اثراتی مانند دانه‌بندی مجدد دینامیکی<sup>[7]</sup> پلاستیسیته‌ی کریستالی<sup>[8]</sup> باعث می‌شود که نتوان از مدل کارسختی ایزوتربوپلیک برای پیش‌بینی استحکام تسیلم جدید با استفاده از کرنش معادل فرایند استفاده کرد. موارد بیان شده باعث شده که تاکنون محققین تمایلی به استفاده از کرنش معادل فرایند برای تخمين استحکام تسیلم با استفاده از خواص کارسختی نمونه نداشته باشند. اما رویه‌ی فوق را می‌توان به صورت معکوس طی کرد، یعنی با داشتن استحکام تسیلم پس از هر بار عبور نمونه از قالب، میزان کرنش القایی را تخمین زد (شکل ۵).

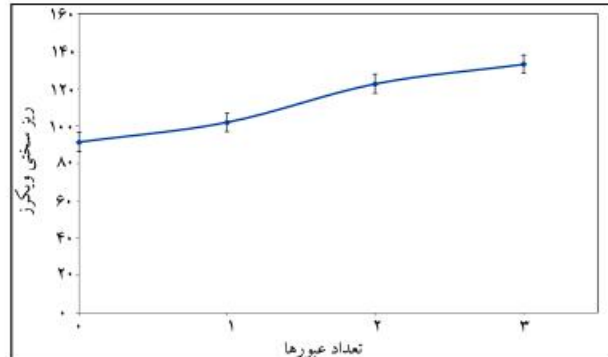
چنان‌که مشاهده می‌شود با هر بار عبور نمونه از کanal، کرنشی برابر  $2^{\circ}/0^{\circ}$  در قطعه‌القا می‌شود که باکمک آن می‌توان استحکام تسیلم در نمونه‌های با عبور بیشتر و حتی تعداد عبور قابل انجام را نیز تخمین زد.

نتایج آزمون ریزسختی و یک‌زورق‌های آلومینیومی تولید شده در عبورهای مختلف ECAR در شکل ۶ گزارش شده است. این تصویر افزایش ریزسختی همزمان با افزایش تعداد عبورها را در سطح تماس ورق‌ها با غلتک‌ها نشان می‌دهد. علت این امر را می‌توان در تجمع کرنش سختی ناشی از کرنش‌های برشی بالایی که در طول فرایند بر اثر اصطکاک بین سطح ورق و غلتک‌ها اعمال می‌شود، بیان کرد.

در این تحقیق مجموعاً ده نمونه تحت آزمون خستگی قرار گرفتند. این نمونه‌ها از ورق‌های آلومینیومی بازیخته و ورق‌هایی که ۲ و ۳ بار از قالب‌های فرایند نورد در کanal‌های همسان زاویه‌دار عبور کرده‌اند، تهیه شد. نتایج حاصل از انجام آزمون‌های



شکل ۵. ارتباط میان استحکام تسیلم و کرنش القایی در هر عبور.



شکل ۶. تغییرات ریزسختی بر حسب تعداد عبور از کanal.

- متعادل در ورقی که تحت دو عبور فرایند نورد در کانال های همسان زاویه دار قرار گرفته است. دیده می شود.
- سختی نمونه پس از هر بار عبور فرایند نورد در کانال های همسان زاویه دار افزایش می یابد. سختی ورق در سطح دارای تماس با غلتک ها پس از سه عبور ۱/۵ برابر سختی ورق اولیه است.
  - بررسی های خستگی حاکی از افت خواص خستگی ماده در محدوده خستگی کم چرخه است. با هر بار عبور فرایند نورد در کانال های همسان زاویه دار عمر خستگی کاهش شدیدی نشان می دهد.
  - پس از فرایند ECAR، ورق هایی با استحکام و سختی بالا و در عین حال شکل پذیری و عمر خستگی پایین به دست می آید.

## ۵. نتیجه گیری

فرایند نورد در کانال های همسان زاویه دار برای تولید ورق های آلومینیومی با استحکام بالا مورد استفاده قرار گرفته است. مهم ترین دستاوردهای مطالعه‌ی حاضر را می‌توان چنین بر شمرد:

- نتایج آزمون کشش نشان‌گر افزایش شدید استحکام تسليم براثر افزایش تعداد عبورهاست. استحکام کششی نهایی ماده نیز هم زمان با افزایش استحکام تسليم افزایش می‌یابد اما با شیبی کمتر از شیب افزایش استحکام تسليم.
- فرایند نورد در کانال های همسان زاویه دار به طور قابل ملاحظه‌ی سبب کاهش شکل پذیری ماده می‌شود. ترکیب نسبتاً قابل قبولی از استحکام بالا و شکل پذیری

## پانوشت‌ها

1. ultra-fine grains
2. severe plastic deformation
3. equal channel angular rolling
4. equal channel angular pressing
5. wire cut
6. gauge length
7. dynamic recrystallization
8. crystal plasticity

## (References) منابع

1. Valiev, R.Z. and Langdon, T.G. "Principles of equal-channel angular pressing as a processing tool for grain refinement", *Progress in Materials Science*, **51**, pp. 881-981 (2006).
2. Kommel, L., Hussainova, L. and Volobueva, O. "Microstructure and properties development of copper during severe plastic deformation", *Materials and Design*, **28**, pp. 2121-2128 (2007).
3. Kumar, K.S., Swygenhoven, H.V. and Suresh, S. "Mechanical behavior of nanocrystalline metals and alloys", *Acta Materialia*, **51**, pp. 5743-5774 (2003).
4. Zhu, Y.T., Lowe, T.C. and Langdon, T.G. "Performance and applications of nanostructured materials produced by severe plastic deformation", *Scripta Materialia*, **51**, pp. 825-830 (2004).
5. Han, J.H., Oh, K.H. and Lee, J.C. "Effect of accumulative starin on texture evolution in 1050 alloys processing by continuous confined strip shearing", *Materials Science and Engineering A*, **387**, pp. 240-243 (2004).
6. Mahmoodi, M., Sedighi, M. and Tanner, D.A. "Investigation of through thickness residual stress distribution in equal channel angular rolled Al 5083 alloy by layer removal technique and X-ray diffraction", *Materials and Design*, **40**, pp. 516-520 (2012).
7. Segal, V. "Material processing by simple shear", *Material Science and Engineering A*, **197**, pp. 157-164 (1995).
8. Habibi, A., Katabchi, M. and Eskandarzadeh, M. "Nano grained pure copper with high-strength and high-conductivity produced by equal channel angular rolling process", *Journal of Materials Processing Technology*, **211**, pp. 1085-1090 (2011).
9. Chen, Y.Q. and Xia, Z.H. "Effect of crystal orientation on the ductility in AZ31 Mg alloys sheets produced by equal channel angular rolling", *Material Science and Engineering A*, **42**, pp. 3552-3556 (2007).
10. Hoppel, H.W., Kautz, M., Xu, C., Murashkin, M., Langdon, T.G., Valiev, R.Z. and Mughrabi, H. "An overview: Fatigue behaviour of ultrafine-grained metals and alloys", *International Journal of Fatigue*, **28**, pp. 1001-1010 (2006).
11. Park, S.H., Hong, S.G., Lee, B.H., Bang, W. and Lee, C.S. "Low-cycle fatigue characteristics of rolled Mg-3Al-1Zn alloy", *International Journal of Fatigue*, **32**, pp. 1835-1842 (2010).
12. ASTM B918/B918M-09, *Standard Practice for Heat Treatment of Wrought Aluminum Alloys*, ASTM International, West Conshohocken, PA (2009).
13. ASTM E8/E8M-13a, *Standard Test Methods for Tension Testing of Metallic Materials*, ASTM International, West Conshohocken, PA (2013).
14. ASTM E606/E606M-12, *Standard Test Method for Strain-Controlled Fatigue Testing*, ASTM International, West Conshohocken, PA (2012).
15. Mahmoodi, M. "The effect of parameters on residual stress and mechanical properties of equal channel angular rolled sheets", Ph.D. Thesis, *Iran University of Science and technology*, (in Persian) (2012).
16. Aydin, M. "High-cycle fatigue behavior of severely plastically deformed binary Zn-60Al alloy by equal-channel angular extrusion", *Journal of Materials Processing Technology*, **212**, pp. 1780-1789 (2012).